

回顾 对称矩阵 正交对角化.

$$A = A^T \in M_n(\mathbb{R}), \exists Q \in O(n). \text{ s.t. } Q^T A Q = \begin{pmatrix} \lambda_1 & & \\ & \ddots & \\ & & \lambda_n \end{pmatrix}$$

$(Q^{-1} A Q)$
(相合, 相似)

也称作 自伴线性变换 的谱定理. $T: V \rightarrow V$, V 是 内积空间.

T 自伴, 则 T 在标准正交基下 可对角化 (V 分解成 一线性 T 不变子空间的 正交直和)

结合 正定 性判定: $A = A^T$ 正定 ($\Leftrightarrow \lambda_i > 0$)
 $\Leftrightarrow A = P \cdot P^T$,

$A = A^T$ 半正定 $\Leftrightarrow \lambda_i \geq 0$. $\Rightarrow P$ 可逆.
 $\Leftrightarrow A = P \cdot P^T$.

如果 $T: V \rightarrow W$ 是 两个内积空间之间的 线性映射.
如何找到 T 的 标准型?

$A \in M_{m \times n}(\mathbb{R})$, 回顾 $\exists P \in GL(n, \mathbb{R})$
 $Q \in GL(m, \mathbb{R})$

s.t. $Q^{-1} A P = \begin{pmatrix} I_r & \\ 0 & 0 \end{pmatrix}$

$R = P^{-1} A Q$. (相抵标准型)

现在 通过 加 内积 结构, 要求 P, Q 正交.

Thm (SVD 奇异值分解)

$A \in M_{m \times n}(\mathbb{R})$. $\exists P \in O(n)$, $Q \in O(m)$,

s.t. $A = Q D P^T$ ($P^T = P^{-1}$)

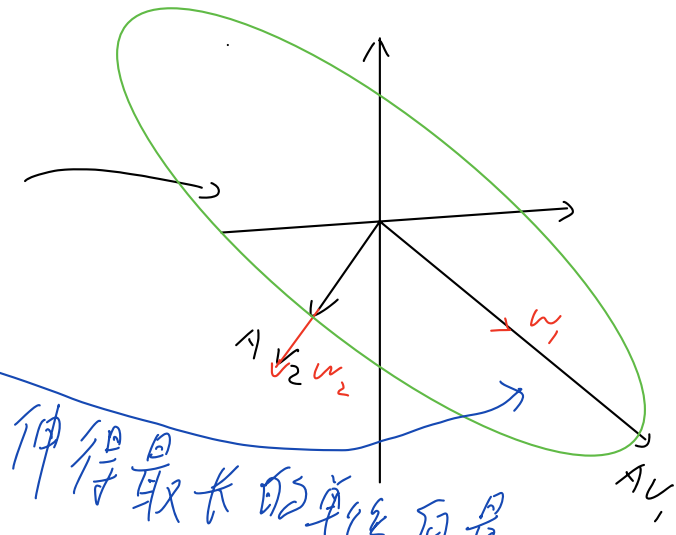
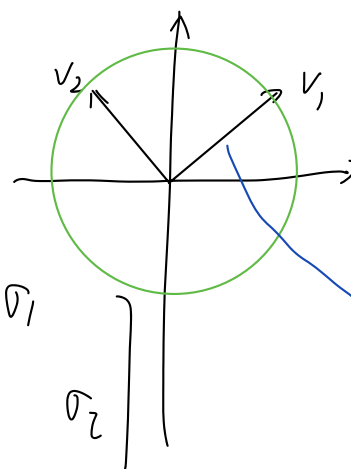
$$D = \begin{bmatrix} \sigma_1 & & \\ & \ddots & \\ & & \sigma_r \\ & 0 & \end{bmatrix}$$

$\sigma_1 \geq \sigma_2 \dots \geq \sigma_r \geq 0$, 由 A 唯一确定, 称为 A 的奇异值

几何解释:

$$A(v_1, v_2)$$

$$= (w_1, w_2) \cdot \begin{bmatrix} \sigma_1 \\ \sigma_2 \end{bmatrix}$$



($m \leq n$ 时. $D = \begin{bmatrix} \sigma_1 & & & \\ & \ddots & & \\ & & \ddots & \\ & & & \sigma_n \end{bmatrix}$)

(只需考虑 $m \geq n$, 另一半对 A 取转置即可)

若 $\sigma_1 \geq \dots \geq \sigma_r > 0$, $\sigma_{r+1} = 0$, $r = r_k A$.

$$\begin{aligned} Q &= (w_1, \dots, w_m), \quad P = (v_1, \dots, v_n), \quad w_1, \dots, w_m \\ A &= \sum_{i=1}^r \sigma_i w_i \cdot v_i^T \quad (\text{常用形式}) \quad v_1, \dots, v_n \end{aligned}$$

R^m 标准正交基
 R^n 标准正交基

证明：考虑 $A^T A$ 对称，半正定。

Step 1: $\sigma_1, \dots, \sigma_h$ 存在性

若 $A = QDP^T$, 则 $A^T A = P \begin{bmatrix} \sigma_1^2 & & \\ & \ddots & \\ & & \sigma_h^2 \end{bmatrix} P^T$

所以 $\sigma_1^2, \dots, \sigma_h^2$ 是 $A^T A$ 的特征值。

排序后由 A 唯一确定。

Step 2: SVD 存在性 (找 P, Q)

由 Step 1, P 应该出现在 $A^T A$ 的对角线上

$A^T A$ 对称 $\Rightarrow \exists P \in O(n)$, s.t.

$$P^{-1}(A^T A)P = \begin{bmatrix} \lambda_1 & & \\ & \ddots & \\ & & \lambda_h \end{bmatrix}, \quad \lambda_1 \geq \lambda_2 \geq \lambda_3 \dots \geq \lambda_h$$

且

$$P = (v_1 \dots v_n).$$

$$A^T A v_i = \lambda_i v_i$$

Claim: $A v_1, \dots, A v_n$ 相互正交.

$$\begin{aligned}
 i \neq j, \quad & \langle A v_i, A v_j \rangle_{\mathbb{R}^m} = (A v_i)^T (A v_j) \\
 & = v_i^T (A^T A v_j) \\
 & = \lambda_j v_i^T v_j \\
 & = \lambda_j \langle v_i, v_j \rangle_{\mathbb{R}^n} = 0
 \end{aligned}$$

假设 $\lambda_1 \geq \dots \geq \lambda_r > 0, \lambda_{r+1} = \lambda_{r+2} = \dots = \lambda_n = 0$

$$\text{取 } w_1 = \frac{A v_1}{\|A v_1\|_{\mathbb{R}^m}}, \dots, w_r = \frac{A v_r}{\|A v_r\|_{\mathbb{R}^m}}$$

w_1, \dots, w_r 标准化后， $A v_1, \dots, A v_r$ 为标准正交基.

$$\|A \cdot v_i\|_{\mathbb{R}^m} = \sqrt{\lambda_i} = r_i$$

$$(A v_1, \dots, A v_n) = (w_1, \dots, w_n) \cdot \begin{bmatrix} \bar{\rho}_1 & & \\ & \ddots & \\ & & \bar{\rho}_n \end{bmatrix}$$

$$\text{设 } A \cdot P = Q \cdot D, \quad P \in O(n), \quad Q \in O(m)$$

应用场 §. 1) 图像压缩.

$A = (a_{ij})_{m \times n}$ a_{ij} 表达 i, j 点像素的灰度.

m, n 很大, 计忆 mn 数据.

$$A = \sum_{i=1}^{\min(m, n)} \sigma_i w_i v_i^T, \quad \text{取 } k \ll \min(m, n)$$

$$A_k = \sum_{i=1}^k \sigma_i w_i v_i^T, \quad \text{记忆 } k(m+n+1) \text{ 数据}$$

$$\left(\begin{matrix} w_1 & \dots & w_k \\ & \vdots & \\ & 0 & \end{matrix} \right) \left(\begin{matrix} \sigma_1 & & \\ & \ddots & \\ & & \sigma_k \\ & \vdots & \\ & 0 & \end{matrix} \right) \left(\begin{matrix} v_1^T \\ \vdots \\ v_k^T \\ 0 \end{matrix} \right)$$

A_k 很接近 A .

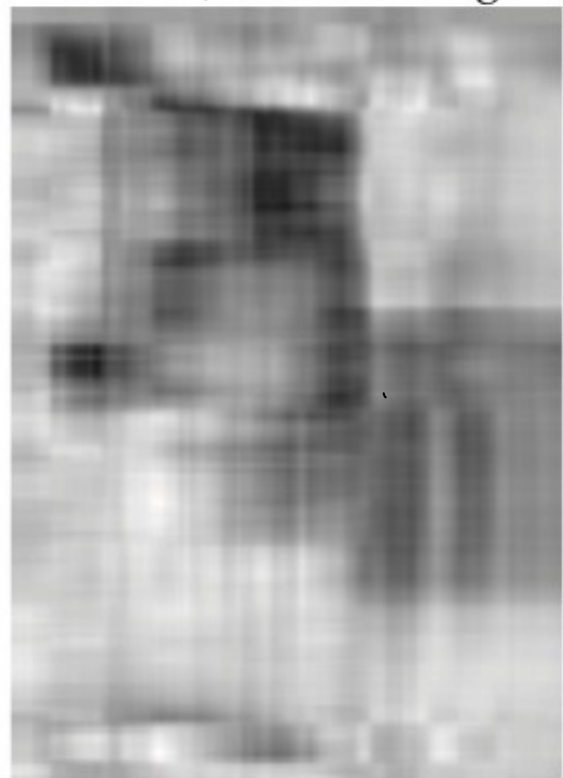
(什么意义?)

(Branton-Kutz 波的
图像)

Original



$r = 5, 0.57\% \text{ storage}$



$r = 20, 2.33\% \text{ storage}$



$r = 100, 11.67\% \text{ storage}$

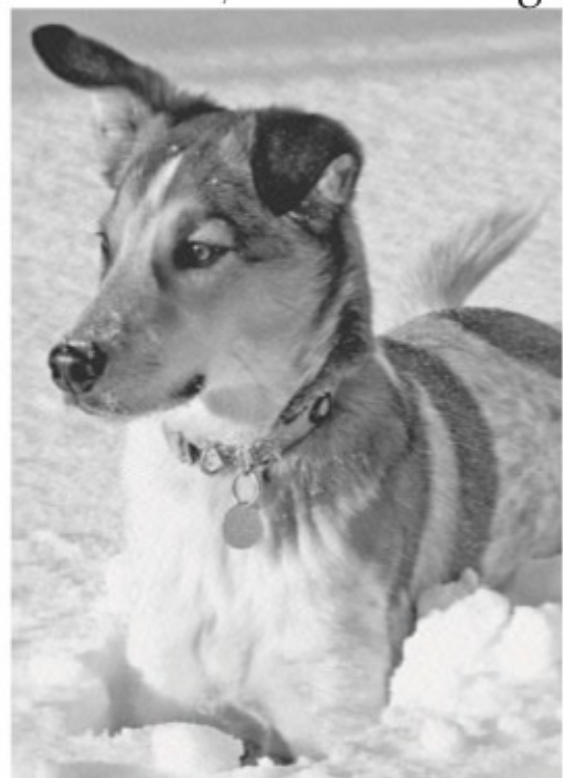


Figure 1.3 Image compression of Mordecai the snow dog, truncating the SVD at various ranks r . Original image resolution is 2000×1500 .

Brynn Kutz,

Data-driven Science and Engineering
Page 10

$M_{m \times n}(\mathbb{R})$ 上有内积 $\langle \cdot, \cdot \rangle$. (Frobenius 内积)

$$\langle A, B \rangle = \text{Tr}(A^T B), \quad \langle A, A \rangle = \|A\|_F$$

(2) A, B 使得 $\sqrt{\langle A - B, A - B \rangle}$

$$= \sqrt{\sum_{i,j} (a_{ij} - b_{ij})^2} \quad \left(\begin{array}{l} \text{与直积相等} \\ \text{等同于 } \mathbb{R}^n \text{ 的标准} \\ \text{内积.} \end{array} \right)$$

切比雪夫 (Eckart-Young, Schmidt) (近似逼近)

A_k 是 $rk \leq k$ 的 $m \times n$ 矩阵且与 A 切比雪夫最近

的 $\|A - A_k\|_F = \min_{rk B \leq k} \|A - B\|$

差少少呢？

理解 (HW). $V = M_{n \times n}(\mathbb{R})$, $\langle \cdot, \cdot \rangle_F$

即 $\forall P \in O(n), Q \in O(m)$.

$T_{P,Q} V \rightarrow V$ 是正交变换.

$$A \mapsto QAP$$

推论 1: $A = QDP^T, D = \begin{bmatrix} \sigma_1 & & \\ & \ddots & \\ & & \sigma_n \end{bmatrix}$

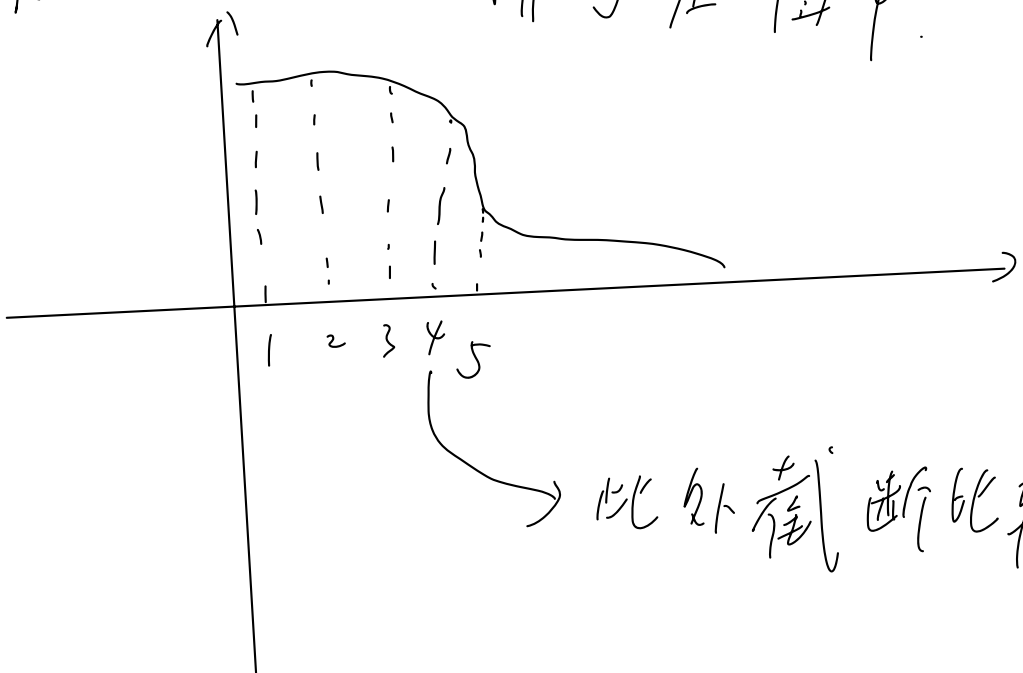
$$\text{即 } \|A\|_F = \sqrt{\sigma_1^2 + \dots + \sigma_n^2}$$

推论 2:

$$A_k = Q \cdot \begin{bmatrix} \sigma_1 & & \\ & \ddots & \\ & & \sigma_k & 0 & \dots & 0 \end{bmatrix} P^T, \|A - A_k\|_F = \underbrace{\sqrt{\sigma_{k+1}^2 + \dots + \sigma_n^2}}$$

也称为 lost energy

将 $r_1 \dots r_r$ 排列在图中.



此外有⁺断比较经济.